

# XI.4.2. Détermination des sollicitations dues aux charges permanentes :

## Moment fléchissant dû aux charges permanentes

$$M_g = g_m. S_i$$

Avec:

 $g_m = g_e + g$ : Charge permanente totale de l'entretoise intermédiaire pour le calcul des moments fléchissant

S<sub>i</sub>: Surface de la ligne d'influence sous la charge permanente.

Appui A et B

$$S_A = \int_0^{l_e} -M(\alpha; 0) d\alpha$$

$$S_A = -\frac{l_e^2}{12} = S_B$$

$$M_{g(A)} = M_{g(B)} = g_m. S_A$$

En travée

$$S_{\frac{le}{2}} = \int_0^{l_e} M\left(\alpha; \frac{l_e}{2}\right) d\alpha$$

$$S_{\underline{le}} = \frac{l_e^2}{24}$$

$$M_{g(\frac{le}{2})}=M_{gB}=g_m.\,S_A$$

Avec l<sub>e</sub>=3,05m et g<sub>m</sub>=25,4kN/m; on trouve les résultats suivants:

$$\rightarrow$$
 En appui A et B : S\_A=S\_B=-0,78m² d'où : M\_gA=M\_gB=-19,7kN.m

$$\rightarrow$$
 En travée :  $S_{le/2}=0,39m^2$  ; d'où :  $M_{gle/2}=9,8kN.m$ 

#### Effort tranchant dû aux charges permanentes

En disposant toujours la charge répartie du poids propre de l'entretoise sur la ligne d'influence des efforts tranchant, on peut obtenir la valeur de ces derniers par :

$$T_g = g_v. S_i$$

Avec

 $g_v = g_e + g'$ : Charge permanente totale de l'entretoise intermédiaire pour le calcul des efforts tranchants

S<sub>i</sub>: Surface de la ligne d'influence sous la charge permanente.

D'après les figures des lignes d'influence, celle de l'effort tranchant à l'appui A et celle de l'effort tranchant à l'appui B sont symétriques ; mais ses valeurs ont des signes contraires.

On obtient des mêmes résultats de calcul avec des signes contraires.



### Appui A et B

$$S_B = \int_0^{l_e} T(\alpha; 0) d\alpha$$

$$S_B = \frac{l_e}{12}$$

$$T_{g(B)} = -T_{g(A)} = g_v. S_B$$

#### En travée

$$S_{\underline{le}} = \int_0^{l_e/2} T\left(\alpha; \frac{l_e}{2}\right) d\alpha - \int_{l_e/2}^{l_e} T\left(\alpha; \frac{l_e}{2}\right) d\alpha$$

$$S_{\frac{le}{2}} = 0$$

$$T_{g(\frac{le}{2})} = 0$$

Avec l<sub>e</sub>=3,05m et g<sub>m</sub>=22,3kN/m; on trouve les résultats suivants :

- $\rightarrow$  En appui A et B : S<sub>A</sub>=-S<sub>B</sub>=-0,25m<sup>2</sup> d'où : V<sub>gA</sub>=-V<sub>gB</sub>=-5,7kN
- $\rightarrow$  En travée :  $S_{le/2}=0m^2$  ; d'où :  $V_{gle/2}=0kN.m$

## XI.4.3. Détermination des sollicitations dues aux surcharges d'exploitation

## XI.4.3.1. Coefficient de majoration dynamique de l'entretoise

Le coefficient de majoration dynamique de l'entretoise intermédiaire est obtenu par :

$$\delta = 1 + \frac{0.4}{1 + 0.2. L} + \frac{0.6}{1 + \frac{4P}{S}}$$

L = 3,25m: distance entre axe des poutres

P=g<sub>e</sub>.L =41,9kN: intensité de la charge permanente de l'entretoise

S=b.S': S' surcharge maximale [charge maximale d'essieux du système qu'on peut disposer sur la surface considérée]

- $\rightarrow$  Pour le système B<sub>c</sub> : S=300kN, b=bc=1,1 donc  $\delta$ = 1,64
- $\rightarrow$  Pour le système B<sub>t</sub> : S=320kN, b=bt=1 donc  $\delta$ = 1,64
- $\rightarrow$  Pour le système B<sub>r</sub> : S=100kN, b=br=1 donc  $\delta$ = 1,47

### XI.4.3.2. Moment fléchissant :

Le moment fléchissant maximal de l'entretoise intermédiaire est :  $M_{Bc} = \delta$ .  $P_0$ .  $\sum y_{Po}$ 

Avec:

δ : Coefficient de majoration dynamique:

 $y_{Po} = M(\alpha_{Po}, x)$ : Ordonnée de la ligne d'influence du moment sous  $P_o$ 

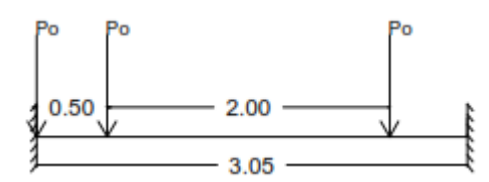
P<sub>o</sub> : Réaction de l'entretoise sous un fil longitudinale de la surcharge

Moment fléchissant dû aux surcharges d'exploitation: Bc

La position défavorable est donnée comme suit :



#### Aux appuis

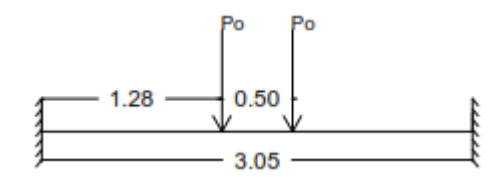


Fil de roue  $n^{\circ}1$ :  $\alpha_1=0m$  et  $y_1=0m$ 

Fil de roue  $n^{\circ}2 : \alpha_2 = 0.5 \text{m}$  et  $y_2 = -0.35 \text{m}$ 

Fil de roue n°3 :  $\alpha_3$ =2,5m et y<sub>3</sub>=-0,08m

### En travée



Fil de roue n°1 : $\alpha_1$ =1,27m et y<sub>1</sub>=0,26m

Fil de roue n°2 : $\alpha_2$ =1,77m et y<sub>2</sub>=0,26m

Avec  $P_0=103,4kN$  et  $\delta=1,64$ ; on trouve les résultats suivants :

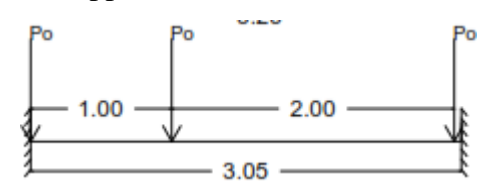
$$\rightarrow$$
 En appui A et B :  $M_{Bc}(A) = M_{Bc}(B) = \delta$ .  $P_0 \cdot \sum y_{Po} = -73,1$ kN. m

$$\rightarrow$$
 En travée :  $M_{Bc} = \delta$ .  $P_0$ .  $\sum y_{Po} = 90,4$ kN. m

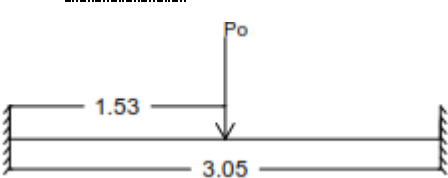
## Moment fléchissant dû aux surcharges d'exploitation: Bt

La position défavorable est donnée comme suit :

## Aux appuis



### En travée



Fil de roue  $n^{\circ}1$ :  $\alpha_1$ =0m et  $y_1$ =0m

Fil de roue n°2 :  $\alpha_2$ =1m et y<sub>2</sub>=-0,45m

Fil de roue n°3 :  $\alpha_3$ =3m et y<sub>2</sub>=-0,001m

Fil de roue n°1 : $\alpha_1$ =1,53m et y<sub>1</sub>=0,38m

Avec  $P_0$ =80kN et  $\delta$ =1,64; on trouve les résultats suivants :

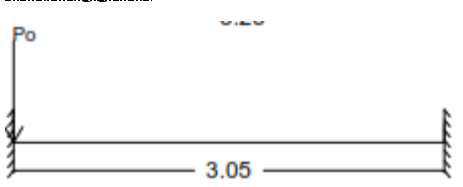
$$\rightarrow$$
 En appui A et B :  $M_{Bt}(A) = M_{Bt}(B) = \delta \cdot P_0 \cdot \sum y_{Po} = -59,2$ kN. m

$$\rightarrow$$
 En travée : M<sub>Bt</sub> =  $\delta$ . P<sub>0</sub>.  $\sum y_{Po} = 49.9$ kN. m

#### Moment fléchissant dû aux surcharges d'exploitation: Br

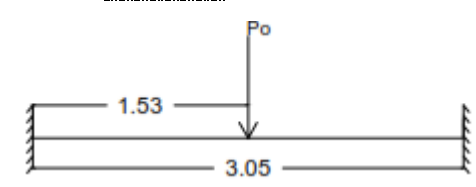
La position défavorable est donnée si a roue est placée sur la section d'étude :

#### Aux appuis



La roue :  $\alpha_1$ =0m et y<sub>1</sub>=0m

#### En travée



La roue :  $\alpha_1 = 1,52m$  et  $y_1 = 0,38m$ 



Avec  $P_0=100$ kN et  $\delta=1,47$ ; on trouve les résultats suivants :

 $\rightarrow$  En appui A et B :  $M_{Br}(A) = M_{Br}(B) = \delta \cdot P_0 \cdot \sum y_{Po} = 0$  kN. m

 $\rightarrow$  En travée : M<sub>Br</sub> =  $\delta$ . P<sub>0</sub>.  $\sum$  y<sub>Po</sub> = 55,9kN. m

### XI.4.3.3. Effort tranchant:

L'effort tranchant maximal de l'entretoise intermédiaire est obtenu par:  $T_{Bc} = \delta$ .  $P_0$ .  $\sum y_{Po}$ 

# Effort tranchant dû aux surcharges d'exploitation: Bc

Avec les mêmes dispositions qu'au calcul des moments, on a:

Aux appuis En travée

Fil de roue  $n^{\circ}1: \alpha_1=0m$  et  $y_1=-1m$  Fil de roue  $n^{\circ}1: \alpha_1=1,27m$  et  $y_1=0,37m$ 

Fil de roue n°2 :  $\alpha_2$ =0,5m et y<sub>2</sub>=-0,93m Fil de roue n°2 :  $\alpha_2$ =1,77m et y<sub>2</sub>=-0,37m

Fil de roue n°3 :  $\alpha_3$ =2,5m et y<sub>3</sub>=-0,086m

Avec  $P_0=103,4kN$  et  $\delta=1,64$ ; on trouve les résultats suivants :

 $\rightarrow$  En appui A et B :  $T_{Bc}(A) = \delta$ .  $P_0$ .  $\sum y_{Po} = -341,6kN = -T_{Bc}(B)$ 

 $\rightarrow$  En travée :  $T_{Bc} = \delta . P_0 . \sum y_{Po} = 0 kN$ 

Effort tranchant dû aux surcharges d'exploitation: Bt

Avec les mêmes dispositions qu'au calcul des moments, on a:

Aux appuis En travée

Fil de roue  $n^{\circ}1:\alpha_1=0m$  et  $y_1=-1m$  Fil de roue  $n^{\circ}1:\alpha_1=1,52m$  et  $y_1=0m$ 

Fil de roue n°2 :  $\alpha_2$ =1m et y<sub>2</sub>=-0,75m

Fil de roue n°3 :  $\alpha_3$ =3m et y<sub>3</sub>=-0,001m

Avec  $P_0$ =80kN et  $\delta$ =1,64; on trouve les résultats suivants :

 $\rightarrow$  En appui A et B :  $T_{Bc}(A) = \delta \cdot P_0 \cdot \sum y_{Po} = -228.9 \text{kN} = -T_{Bc}(B)$ 

 $\rightarrow$  En travée :  $T_{Bc} = \delta . P_0 . \sum y_{Po} = 0 kN$ 

Effort tranchant dû aux surcharges d'exploitation: Br

Avec les mêmes dispositions qu'au calcul des moments, on a:

Aux appuis En travée

La roue :  $\alpha_1$ =0m et  $y_1$ =-1m La roue :  $\alpha_1$ =1,52m et  $y_1$ =0m



Avec  $P_0=100kN$  et  $\delta=1,47$ ; on trouve les résultats suivants :

 $\rightarrow$  En appui A et B :  $T_{Bc}(A) = \delta$ .  $P_0$ .  $\sum y_{Po} = -146,7kN = -T_{Bc}(B)$ 

ightarrow En travée :  $T_{Bc} = \delta$ .  $P_0$ .  $\sum y_{Po} = 0$ kN

## XI.4.4. Récapitulation des sollicitations sur l'entretoise intermédiaire

On rappelle que : M\_g = g\_m. S\_i ; T\_g = g\_v. S\_i ; M\_B = \delta. P\_0.  $\sum y_{Po}$  ; T\_B =  $\delta.$  P\_0.  $\sum y_{Po}$ 

| Charges |                                    | Moment en kN.m | Effort tranchant en kN |  |  |  |  |  |
|---------|------------------------------------|----------------|------------------------|--|--|--|--|--|
|         | Dues aux charges permanentes       |                |                        |  |  |  |  |  |
| G       | Aux appuis :                       | -19,7          | -5,7                   |  |  |  |  |  |
|         | En travée :                        | 9,8            | 0,0                    |  |  |  |  |  |
|         | Dues aux surcharges d'exploitation |                |                        |  |  |  |  |  |
| Вс      | Aux appuis :                       | -73,1          | -341,6                 |  |  |  |  |  |
| БС      | En travée :                        | 90,4           | 0,0                    |  |  |  |  |  |
| Bt      | Aux appuis :                       | -59,2          | -228,9                 |  |  |  |  |  |
|         | En travée :                        | 49,9           | 0,0                    |  |  |  |  |  |
| D.      | Aux appuis :                       | 0,0            | -146,7                 |  |  |  |  |  |
| Br      | En travée :                        | 55,9           | 0,0                    |  |  |  |  |  |

Tableau 84. Récapitulation des sollicitations sur l'entretoise intermédiaire

## XI.4.5. Combinaisons d'actions

A l'ELU: 
$$M_u = 1.35M_G + 1.5max(M_{Bc}; M_{Bt}; M_{Br})$$

$$T_u = 1.35T_G + 1.5max(T_{Bc}; T_{Bt}; T_{Br})$$

A l'ELS: 
$$M_s = M_G + max(M_{Bc}; M_{Bt}; M_{Br})$$

$$T_{\rm s} = T_{\rm G} + \max(T_{\rm Bc}; T_{\rm Bt}; T_{\rm Br})$$

|     | Moment en (kN.m) |        | Effort tranchant (kN) |        |  |
|-----|------------------|--------|-----------------------|--------|--|
|     | Appuis           | Travée | Appuis                | Travée |  |
| ELU | -136,2           | 148,9  | -520                  | 0,00   |  |
| ELS | -92,7            | 100,2  | -347,3                | 0,00   |  |

Tableau 85. Combinaisons d'actions de l'entretoise

#### XI.5. Calcul des armatures

La section de calcul est :



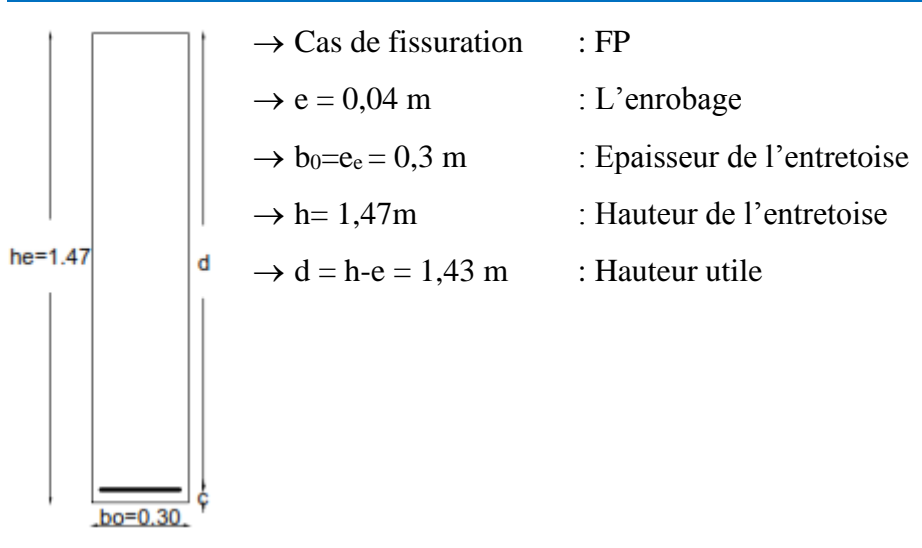


Figure 30. Section de calcul des armatures pour l'entretoise

$$\begin{split} &\to \, f_{c28} = 25 \text{MPa; } \, \overline{\sigma}_{bc} = 0.6. \, f_{c28} = 15 \text{MPa; } \, f_{bu} = 14.17 \text{MPa} \\ &\to \, f_e = 500 \text{MPa; } \, \overline{\sigma}_{st} = \min \left\{ \! \frac{2}{3} f_e; \max \! \left( 0.5 f_e; 110 \sqrt{\eta. \, f_{t28}} \right) \! \right\} = 333.33 \text{MPa} \\ &\to \, \sigma_s = f_{ed} = \! \frac{f_e}{\gamma_s} = 434.78 \text{MPa} \end{split}$$

# XI.5.1. Calcul des armatures en travée

### Armatures longitudinales à l'ELU

Calcul de 
$$\mu_{bu}$$
:  $\mu_{bu} = \frac{M_u}{b_0 d^2 f_{bu}} = 0.017$  et  $\mu_l = 0.025$ 

 $\mu_{bu} < \mu_{l}$  : On a une section simplement armée (A' $_{u}$  =0)

 $\mu_{bu}$  < 0,275 : on utilise la méthode simplifiée

Calcul de 
$$z_b$$
:  $z_b = d(1 - 0.6\mu_{bu}) = 1.41$ 

Calcul de 
$$A_u$$
:  $A_u = \frac{M_u}{z_b \cdot f_{ed}} = 2,50 \text{cm}^2$ 

#### Vérification de la section à l'ELS

La vérification à faire est la suivante :  $M_{rb} > M_{ser} = 0,10T$ . m

Avec : 
$$\overline{\alpha}_1 = \frac{n.\overline{\sigma}_{bc}}{n.\overline{\sigma}_{bc} + \overline{\sigma}_{st}} = 0.40$$

$$M_{\rm rb} = \frac{1}{2} {\rm bd}^2 \overline{\alpha}_1 \overline{\sigma}_{\rm bc} \left(1 - \frac{\overline{\alpha}_1}{3}\right) = 1,60 {\rm T.m}$$
: Moment résistant du béton

#### Calcul des armatures longitudinales à l'ELS



Calcul de 
$$\mu_s$$
:  $\mu_s = \frac{M_{ser}}{b_0 d^2 \bar{\sigma}_s} = 5.10^{-4}$ 

Calcul de 
$$z_{b1}$$
:  $z_b = \frac{15}{16} d \frac{40 \mu_s + 1}{54 \mu_s + 1} = 1,33$ 

Calcul de 
$$A_{ser}$$
:  $A_s = \frac{M_s}{z_{b1} \cdot \sigma_s} = 2,33 \text{cm}^2$ 

On prend: A=A<sub>min</sub>=4,41cm<sup>2</sup>. Soit 5HA12=5,65cm<sup>2</sup>

### XI.5.2. Calcul des armatures aux appuis

### Calcul des armatures longitudinales

Comme le moment aux appuis est inférieur au moment en travée donc on peut prendre :  $A=A_{min}=4,41cm^2$ . Soit  $5HA12=5,65cm^2$ 

## XI.5.3. Calcul des armatures d'âme

Le diamètre maximal d'armature d'âme doit être  $:\!\varphi_t \leq min\left(\varphi_l;\frac{h}{35};\frac{b}{10}\right)$ 

Avec  $\phi_l$ =12mm ; h=1,47m ;b=0,3m ; on peut prendre  $\phi_t$  = 8mm donc  $A_t$  = 3HA8 = 1,5cm<sup>2</sup> Espacement :

L'espacement maximal est :  $S_t \le \min\left(\frac{A_t \cdot f_e}{0.4 \cdot e}; 0.9 \text{d}; 40 \text{cm}\right) = \min(62.5; 128.7; 40) = 40 \text{cm}.$ 

L'espacement des armatures d'âme est calculé par :  $S_t \leq \frac{0.9.A_t.f_e(\cos\alpha + \sin\alpha)}{e.\gamma_s.(\tau_u - 0.3K.f_{t28})}$ 

Avec : - armatures droites :  $\alpha = 90^{\circ}$  alors  $\cos \alpha + \sin \alpha = 1$ ;

- en flexion simple : K = 1.

Donc, le premier espacement  $S_{to}$  est :  $S_{to} \le \frac{0.9.A_t.f_e}{e.\gamma_s.(\tau_u-0.3.f_{t28})} = \frac{0.9.1,5.500}{30.1,15.(1.49-0.3\times2.1)} = 22,75$ cm

Prenons S<sub>to</sub>=20cm

D'où le premier cadre est placé à  $\frac{S_{to}}{2} = \frac{20}{2} = 10$ cm de l'appui pour coudre la première fissure.

Les autres espacements sont choisis dans la suite de CAQUOT : 20 - 25 - 35 - 40

On répète « n » fois le même espacement tel que n est pris égal à :  $\frac{L_e}{2} = \frac{3,05}{2} = 1,5$ . Soit n=2



### XI.5.4. Calcul des armatures de peau

Puisque la hauteur des entretoises est supérieure à 0,80 m, donc d'après la règle BAEL, on doit prévoir des armatures de peau pour éviter une masse de béton non armée et pour minimiser le retrait.

Pour une fissuration préjudiciable, la section minimale de ces armatures est  $A_p=3 \, \mathrm{cm^2}$  par mètre de longueur.

Prenons  $A_p = 5HA10 = 3,93cm^2$ 

#### XI.5.5. Vérification de la contrainte tangentielle dans le béton

La contrainte tangentielle doit vérifier la relation suivante :  $\tau_u \leq \overline{\tau}_u = \min\left(\frac{0.15}{\gamma_b}f_{c28}; 4\text{MPa}\right)$ 

Avec 
$$~V_u \!\!=\!\! 52T; \, f_{c28} \!\!=\! 25Mpa$$
 ;  $b_o \!\!=\!\! 0,\! 3m$  ;  $d \!\!=\!\! 0,\! 9h \!\!=\!\! 1,\! 43m$  et  $\gamma_b \!\!=\!\! 1,\! 5$ 

On a 
$$\tau_u=\frac{V_u}{b_0.d}=1$$
,21MPa  $\leq \overline{\tau}_u=\min\left(\frac{0,15}{\gamma_b}f_{c28};4$ MPa $\right)=2$ ,5MPa

La condition est vérifiée donc la contrainte tangentielle dans le béton n'est pas à craindre.



### Chapitre XII. Etude de la poutre principale

### XII.1. Description de la poutre

Pour la faible portée ou moyenne, la section des poutres peut être rectangulaire ou légèrement trapézoïdale. Mais, dès que la longueur des poutres dépasse 12m, le poids devient prohibitif et il s'impose de réaliser des poutres à talons. Ces derniers comportent une table de compression et un large talon, constituant respectivement la fibre supérieure et la fibre inférieure, qui sont liées par une âme à faible épaisseur.

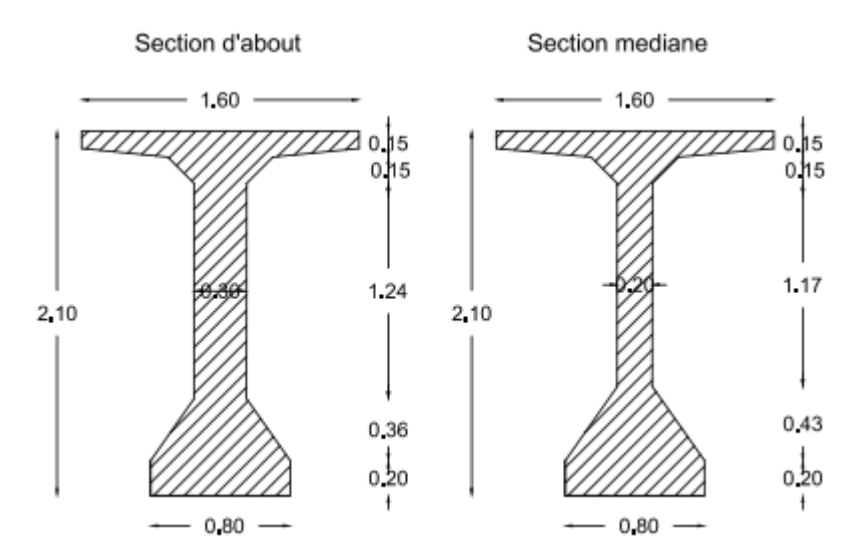


Figure 31. Section des poutres principales

#### XII.2. Détermination du rendement géométrique de la section

Le principe de calcul se fait par la détermination de :

- La valeur du moment d'inertie par rapport à un axe horizontal qui passe par le centre de gravité;
- La position du centre de gravité G;
- La valeur du rendement géométrique ρ.

La section est dite normal si : $\rho \le 0.50$ 

La section est dite élancée si  $: \rho > 0.50$ 

#### XII.2.1.Calcul du moment d'inertie

Les caractéristiques de la section de la poutre sont représentées dans la figure suivante :



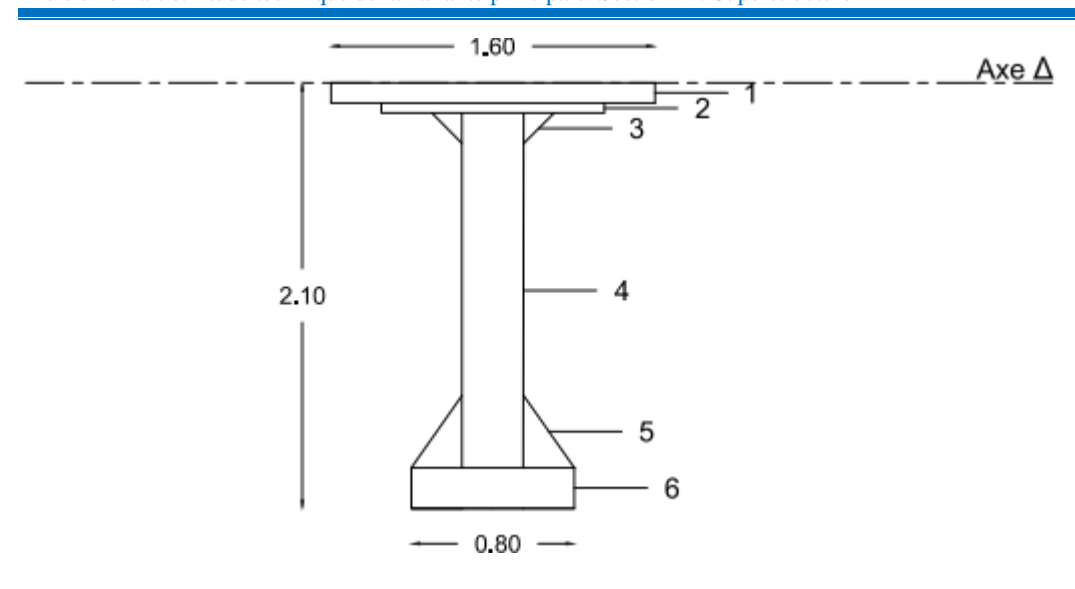


Figure 32. Section pour le calcul du moment d'inertie

Soit h la hauteur, b la base,  $S_i$  la surface élémentaire et  $\delta_i$  la distance du centre de gravité de l'élément par rapport à l'axe ( $\Delta$ ) passant par la fibre supérieur de la poutre.

Moment d'inertie d'une section par rapport à son centre de gravité:

Pour une section rectangulaire :  $I_{Gi} = \frac{b \cdot h^3}{12}$ 

Pour une section triangulaire :  $I_{Gi} = \frac{b.h^3}{36}$ 

 $^{\circ}$  Moment d'inertie par rapport à  $(\Delta)$ 

On a pour chaque section élémentaire n°i de la poutre :  $I_{\Delta i} = I_{Gi} + S_i.\,\delta i^2$ 

Donc pour toute la section :  $I_{\Delta} = \sum I_{\Delta i}$ 

| Elément | Section d'about  |        |                      |                       | Section médiane  |        |                      |                       |  |
|---------|------------------|--------|----------------------|-----------------------|------------------|--------|----------------------|-----------------------|--|
|         | Si (m²)          | δ (m)  | Ig (m <sup>4</sup> ) | IΔi (m <sup>4</sup> ) | Si (m²)          | δ (m)  | Ig (m <sup>4</sup> ) | IΔi (m <sup>4</sup> ) |  |
| 1       | 0,1600           | 0,0500 | 0,0001               | 0,0005                | 0,1600           | 0,0500 | 0,0001               | 0,0005                |  |
| 2       | 0,0525           | 0,1250 | 0,0000               | 0,0008                | 0,0500           | 0,1250 | 0,0000               | 0,0008                |  |
| 3       | 0,0225           | 0,2000 | 0,0000               | 0,0009                | 0,0225           | 0,2000 | 0,0000               | 0,0009                |  |
| 4       | 0,5250           | 1,0250 | 0,1340               | 0,6856                | 0,3500           | 1,0250 | 0,0893               | 0,4570                |  |
| 5       | 0,1092           | 1,7700 | 0,0009               | 0,3430                | 0,1290           | 1,7567 | 0,0013               | 0,3994                |  |
| 6       | 0,1600           | 2,0000 | 0,0005               | 0,6405                | 0,1600           | 2,0000 | 0,0005               | 0,6405                |  |
| Poutre  | $I\Delta (m^4)=$ |        |                      | 1,6714                | $I\Delta (m^4)=$ | 1,4992 |                      |                       |  |

Tableau 86. Valeurs des moments d'inertie pour chaque section de la poutre



## XII.2.2. Calcul de la position du centre de gravité G

Avec h la hauteur de la poutre,  $Y_i$  la position de chaque élément de la poutre par rapport à la fibre supérieur de la poutre et Si les surfaces élémentaires, on a :

- Position de G par rapport à la fibre supérieure:  $V = Y_G = \frac{\sum S_i \cdot Y_i}{\sum S_i}$
- Position du G par rapport à la fibre inferieure : V' = h V

## XII.2.3. Calcul du rendement géométrique de la section

Il est donné par la formule :  $\rho = \frac{I}{S.V.V}$ 

Avec :  $S = \sum S_i$  : Section de la poutre

 $I=I_{\Delta}-S.\,V^2$  : Moment d'inertie de la poutre par rapport à son centre de gravité

- La limite supérieure du noyau limite :  $C = \rho$ . V
- La limite inférieure du noyau limite :  $C' = \rho$ . V'

| Section | h(m) | S (m <sup>2</sup> ) | $I\Delta (m^4)$ | V(m) | V'(m) | $I(m^4)$ | ρ    | C(m) | C'(m) | P(m) |
|---------|------|---------------------|-----------------|------|-------|----------|------|------|-------|------|
| About   | 2,1  | 1,03                | 1,67            | 1,04 | 1,06  | 0,56     | 0,49 | 0,51 | 0,52  | 9,5  |
| Médiane | 2,1  | 0,87                | 1,50            | 1,06 | 1,04  | 0,52     | 0,54 | 0,57 | 0,56  | 9,3  |

Tableau 87. Valeurs des paramètres de la section de la poutre

La section d'about est normal car :  $\rho=0.49<0.50$ 

La section médiane est élancée car :  $\rho$ =0,54>0,50

#### XII.3. Détermination des actions :

#### XII.3.1. Les charges permanentes

On évalue la charge permanente par m.l. de la poutre principale.

Pour un élément ; soit e l'épaisseur, l la largeur, A l'aire, γ le poids volumique et n le nombre ;

on a : A = e. l et 
$$g'_t = n$$
. A.  $\gamma(\frac{kN}{ml})$ 

En général, cette charge est composée des :

Charges uniformément reparties noté : g'<sub>t</sub>

- → Revêtement : e=0,03m; l= 8,5m; A=0,43m<sup>2</sup>;  $\gamma$ =23kN/m<sup>3</sup> et n=1, alors g<sub>r</sub>=9,8kN/ml
- → Trottoir : e=0,15m ; l= 0,75m ; A=0,113m<sup>2</sup> ;  $\gamma$ =25kN/m<sup>3</sup> et n=2, alors g<sub>r</sub>=5,6kN/ml
- $\rightarrow$  Garde-corps:  $\gamma$ =0,6kN/ml et n=2, alors g<sub>gc</sub>=1,2kN/ml



- $\rightarrow$  Dalle: e=0,2m; l=8,5m; A=1,7m<sup>2</sup>;  $\gamma$ =25kN/m<sup>3</sup> et n=1, alors g<sub>d</sub>=42,5kN/ml
- $\rightarrow$  Prédalle : e=0,08m; l=1,85m; A=0,15m<sup>2</sup>;  $\gamma$ =25kN/m<sup>3</sup> et n=1, alors g<sub>pd</sub>=3,7kN/ml
- $\rightarrow$  Prédalle : e=0,08m ; l=1,85m ; A=0,15m<sup>2</sup>;  $\gamma$ =25kN/m<sup>3</sup> et n=1, alors g<sub>pd</sub>=3,7kN/ml
- $\rightarrow$  Poutre : A=0,99m<sup>2</sup>;  $\gamma$ =25kN/m<sup>3</sup> et n=3, alors g<sub>pd</sub>=74,6kN/ml

En somme, on trouve  $g'_t = 137,4kN/ml$ 

Charges concentrées provenant de l'entretoise notée : ge

- $\rightarrow$  En about : e=0,3m; l= 1,54m; L=2,95m;  $\gamma$ =25kN/m<sup>3</sup> et n=4, alors g<sub>ea</sub>=136,6kN
- → En médiane : e=0,3m ; l=1,47m ; L=3,05m ;  $\gamma$ =25kN/m<sup>3</sup> et n=6, alors g<sub>em</sub>=202kN

Donc:  $g_e = 338,5kN$ 

Nous ramenons cette charge concentrée à une charge uniformément repartie sur toute la longueur L= 39,21m.

Ainsi on a le poids des entretoises ge= 8,6kN/ml

La charge permanente totale est:  $g_t = g'_t + g_e = 146,1 \text{kN/ml}$ 

- Pour l'étude de la poutre centrale, on va considérer  $g_t = 146,1$ kN/ml.
- Pour l'étude de la poutre de rive, on va considérer  $g_t = 146,1/2=73,1$ kN/ml.

#### XII.3.2. Surcharges d'exploitation :

#### Surcharge de la chaussée :

La chaussée supporte une surcharge uniforme notée :

$$A(l) = 2.3 + \frac{360}{L + 12} [kN/m^2]$$

Avec : L=39,21m, on trouve  $A(1) = 9,3 \text{ kN/m}^2$ 

#### Surcharge du trottoir

Pour le calcul des poutres principales, on appliquera sur les trottoirs une charge uniforme de 150 kg/m² de façon à produire l'effet maximal cherché.

#### Surcharge due au système B :

Le système de surcharge à considérer pour le calcul des poutres principales est : le système Bc, le système Bt et le système Br. On retient celui qui donne les effets maximaux.



- Pour l'étude de la poutre centrale, on va considérer par rangées de camions.
- Pour l'étude de la poutre de rive, on va considérer une rangée de camions.

# Coefficient de majoration dynamique

Les efforts dus aux surcharges B seront majorés par le coefficient de majoration dynamique  $\delta$  défini par :

$$\delta = 1 + \alpha + \beta = 1 + \frac{0.4}{1 + 0.2.L} + \frac{0.6}{1 + \frac{4P}{S}}$$

### Dans laquelle:

L=39,21m : Longueur de la poutre

P= g<sub>t</sub>.L=5727,5kN: Poids total du tablier de la structure

S: Surcharge maximale [charge maximale d'essieux du système qu'on peut disposer sur la surface considérée]. On va considérer que les deux voies sont chargées.

### Pour le système Bc:

- $\rightarrow$  Deux rangées S = 1200 x 1,1 kN (quatre camions B<sub>c30</sub> affecté du coefficient bc=1,1)
- $\rightarrow$  Une rangée S = 600 x 1,1 kN (deux camions B<sub>c30</sub> affecté du coefficient bc=1,1)

### Pour le système Bt :

- $\rightarrow$  Deux rangées S = 640kN (deux essieux tandem Bt affecté du coefficient bt=1)
- → Une rangée S= 320kN (un essieu tandem Bt affecté du coefficient bt=1)

Pour le système Br : Deux voies S= 200kN (deux roues Br) et une voie S= 100kN (une roue Br)

#### On obtient donc:

Pour deux voies chargées : Pour une voie chargée :

 $\rightarrow$  Système B<sub>c</sub>:  $\delta$ =1,08  $\rightarrow$  Système B<sub>c</sub>:  $\delta$ =1,06

→ Système  $B_t$ :  $\delta$ =1,06 → Système  $B_t$ :  $\delta$ =1,05

 $\rightarrow$  Système B<sub>r</sub>:  $\delta$ =1,05  $\rightarrow$  Système B<sub>r</sub>:  $\delta$ =1,05